

Ю.А. СИРОТИН, канд. техн. наук, доц., НТУ «ХПИ»

### Δ СИММЕТРИЗАТОР - КОМПЕНСАТОР ФРИЗЕ

У роботі запропонований алгоритм розрахунку параметрів Δ-компенсатора з LC-елементами неактивного (реактивного та незбалансованого) струму для незбалансованих три-провідних навантажень. Запропонований алгоритм реалізований як програма у середі MicroCad. Проведено чисельне моделювання.

In work the algorithm of calculation of parameters - compensates with the elements of nonactive (reactive and unbalanced) current for the unbalanced tri-providnih loading is offered. The offered algorithm is realized as a program in an environment MicroCad. The numeral design is conducted.

Даже в синусоидальном режиме подключение несимметричных нагрузок без компенсирующих устройств (КУ) приводит к появлению токов обратной последовательности, дополнительным потерям, пульсации мгновенной мощности и несимметрии напряжения – ухудшению качества энергии [1]. Существует три подхода к разработке КУ: а.) метод компенсации неактивного тока Fryze [2]; б.) метод уравнивания режима (устранения пульсирующей компоненты мгновенной мощности) [3] и в.) симметризация тока источника в точке подключения нагрузки [4].

При несимметричном напряжении метод уравнивания режима не устраняет дополнительные потери от реактивного тока (коэффициент мощности не достигает единицы), а метод Fryze, полностью устраняя дополнительные потери, сохраняет пульсации от несимметрии напряжения [5]. При симметричном напряжении устранение дополнительных потерь приводит к симметризации тока (устранению тока обратной и нулевой последовательности) и к уравниванию режима. Тем самым, при симметричном напряжении метод Fryze обобщает и метод уравнивания и метод симметризации тока.

В синусоидальном режиме при симметричном напряжении одной из первых схем симметризации для трехпроводной системы была схема Steinmetz [6]. Изящество схемы симметризации Steinmetz (ССШ) одноплечевой нагрузки  $\dot{Y}_{AB} = G$ , когда она дополняется до Δ-нагрузки реактивными элементами  $\dot{Y}_{CB} = jG/\sqrt{3}$ ,  $\dot{Y}_{CA} = -jG/\sqrt{3}$  на протяжении более века вызывает неослабевающий интерес [1-4, 7-8]. Нагрузка ССШ со стороны источника «видна» как чисто активная сбалансированная нагрузка. ССШ устраняет дополнительные потери от реактивного и несбалансированного тока, полностью убирает пульсации мгновенной мощности и обеспечивает единичный коэффициент мощности (КМ) (измененная полная мощность равна активной мощности) и является частным случаем применения метода

Fryze. Метод Fryze позволяет обеспечить единичный КМ при любой нагрузке и любом напряжении. Проблема заключается в его реализации с помощью реактивных элементов [9-10].

Подключая свое оборудование, потребитель естественно рассчитывает на симметричное напряжение и нуждается в простых и понятных формулах для расчета реактивных элементов КУ. К сожалению приведенные в [1] формулы не очень приспособлены для инженерных расчетов. В [4] рассмотрен метод симметризации. Однако в соответствующих формулах ([4], формула (11)) допущена досадная небрежность. Отсутствие вывода этих формул не позволяет их правильно восстановить и ими воспользоваться. Покажем, как в рамках метода Fryze получить простые формулы для расчета реактивных элементов Δ-компенсатора при симметричном напряжении.

#### Разложение fryze при несимметричном синусоидальном напряжении.

В синусоидальном режиме трехфазные токи и напряжения в трёхпроводном сечении  $\langle a, b, c \rangle$

$$\mathbf{u}(t) = \begin{bmatrix} u_a(t) \\ u_b(t) \\ u_c(t) \end{bmatrix} = \sqrt{2} \operatorname{Re} [U e^{j\omega t}], \quad \mathbf{i}(t) = \begin{bmatrix} i_a(t) \\ i_b(t) \\ i_c(t) \end{bmatrix} = \sqrt{2} \operatorname{Re} [I e^{j\omega t}]. \quad (1)$$

полностью определены трехмерными векторами фазоров (3D-комплексными) напряжения и тока ( $T\omega = 2\pi$ )

$$\mathbf{U} = \begin{bmatrix} \dot{U}_a \\ \dot{U}_b \\ \dot{U}_c \end{bmatrix} = \begin{bmatrix} U_a e^{j\varphi_a} \\ U_b e^{j\varphi_b} \\ U_c e^{j\varphi_c} \end{bmatrix}, \quad \mathbf{I} = \begin{bmatrix} \dot{I}_a \\ \dot{I}_b \\ \dot{I}_c \end{bmatrix} = \begin{bmatrix} I_a e^{j\varphi_a} \\ I_b e^{j\varphi_b} \\ I_c e^{j\varphi_c} \end{bmatrix}. \quad (2)$$

Для вектора полного тока справедливо ортогональное разложение Fryze [11]

$$\mathbf{I} = \mathbf{I}_{aF} + \underbrace{(\mathbf{I} - \mathbf{I}_{aF})}_{\mathbf{I}_F}, \quad \mathbf{I}_F = \mathbf{I} - \mathbf{I}_{aF}. \quad (3)$$

3D-комплексы активного [9-11] и неактивного токов Fryze [12]

$$\mathbf{I}_{aF} = \frac{P}{|\mathbf{U}|^2} \mathbf{U}, \quad \mathbf{I}_F = \frac{-jQ}{|\mathbf{U}|^2} \mathbf{U} + \frac{\mathbf{D} \times \mathbf{U}^*}{|\mathbf{U}|^2} \quad (4)$$

определены через 3D-комплексы токов и напряжений. Здесь  $P$  и  $Q$  - активная и реактивная мощность (реальная и мнимая части комплексной мощности)

$$\dot{S} = \mathbf{U}^\top \mathbf{I}^* = \dot{U}_a I_a^* + \dot{U}_b I_b^* + \dot{U}_c I_c^*, \quad \dot{S} = P + jQ; \quad (5)$$

$\mathbf{D} = \mathbf{U} \times \mathbf{I}$  – векторное произведение 3D-комплексов напряжения и токов (вектор мощности небаланса нагрузки [13]);  $\mathbf{U}^* = (U_a^*, U_b^*, U_c^*)^\top$  и  $\mathbf{I}^* = (I_a^*, I_b^*, I_c^*)^\top$  – комплексно сопряженный (КС) вектор напряжения и тока.  $\top$  – знак операции транспонирования. Действующие величины тока и напряжения равны нормам 3D-комплексов

$$I = |\mathbf{I}| = \sqrt{|\dot{I}_a|^2 + |\dot{I}_b|^2 + |\dot{I}_c|^2}, \quad U = |\mathbf{U}| = \sqrt{|\dot{U}_a|^2 + |\dot{U}_b|^2 + |\dot{U}_c|^2} \quad (6)$$

При этом активный ток Грузе поставляет ту же активную мощность, что и полный ток

$$P = \Re(\mathbf{U}^\top \mathbf{I}^*) = \Re(\mathbf{U}^\top \mathbf{I}_{aF}^*).$$

Для действующих величин справедливы равенства

$$I^2 = I_{aF}^2 + I_F^2, \quad U^2 I_F^2 = Q^2 + D_u^2. \quad (7)$$

Тем самым устранение неактивного тока Грузе из цепей источника равносильно компенсации реактивной и несбалансированной мощности. Из (7) следует уравнение мощности [13]

$$S_B^2 = P^2 + Q^2 + D^2, \quad (8)$$

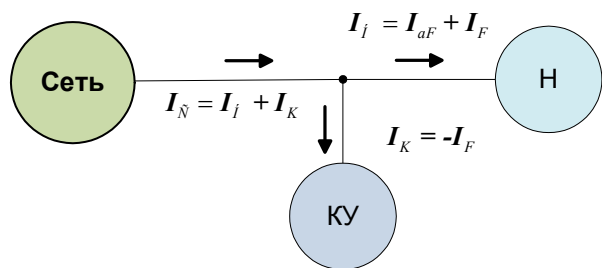


Рис.1 - Подключение несбалансированной нагрузки (Н) с компенсирующим устройством (КУ)

где  $S_B = I \cdot U$  – кажущая мощность (по Buchholz [14]);

$D_u = |\mathbf{D}| = |\mathbf{U} \times \mathbf{I}|$  – мощность небаланса (норма вектора мощности).

Коэффициент мощности

$$\lambda^2 = \lambda_p^2 = \frac{P^2}{S_B^2} = \frac{I_{aF}^2}{I_{aF}^2 + I_F^2} \quad (9)$$

равен единице только, если активный ток равен полному току нагрузки. Это достигается, если для тока компенсатора выполнено  $\mathbf{I}_K = -\mathbf{I}_F$  (см. Рис.1.).

### Энергетические процессы в трехфазной трехпроводной системе.

Рассмотрим трехфазную трехпроводную систему с нагрузкой типа треугольник ( $\Delta$ -нагрузкой)

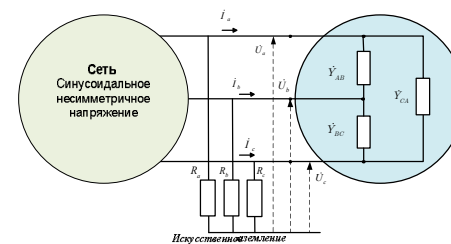


Рис. 2 - Трехфазная система ( $R_a = R_b = R_c$ ) с межфазными комплексными

проводимостями  $\dot{Y}_{AB} \neq \dot{Y}_{BC} \neq \dot{Y}_{CA}$ .

3D-комплексы линейных токов и фазных (узловых) напряжений (2) связаны векторно-матричным равенством

$$\mathbf{I} = \mathcal{Y} \mathbf{U} \quad (10)$$

с матрицей узловых проводимостей  $\Delta$  – нагрузки

$$\mathcal{Y} = \begin{bmatrix} \dot{Y}_{AB} + \dot{Y}_{CA} & -\dot{Y}_{AB} & -\dot{Y}_{CA} \\ -\dot{Y}_{AB} & \dot{Y}_{AB} + \dot{Y}_{CB} & -\dot{Y}_{CB} \\ -\dot{Y}_{CA} & -\dot{Y}_{CB} & \dot{Y}_{CA} + \dot{Y}_{CB} \end{bmatrix}. \quad (11)$$

Матрица узловых проводимостей (11)

$$\mathcal{Y} = \mathcal{M} \mathcal{Y}_\Delta \mathcal{M}^\top \quad (12)$$

получается из диагональной матрицы межфазных комплексных проводимостей

$$\mathcal{Y}_\Delta = \text{diag}[\dot{Y}_{AB}, \dot{Y}_{BC}, \dot{Y}_{CA}] \quad (13)$$

с помощью матрицы инцидентности  $\Delta$  нагрузки

$$\mathcal{M} = \begin{bmatrix} 1 & 0 & -1 \\ -1 & 1 & 0 \\ 0 & -1 & 1 \end{bmatrix}$$

и матрицы  $\mathcal{M}^\top$ , транспонированной к  $\mathcal{M}$ .

Для трехпроводной системы любой 3D-комплекс  $\mathbf{F} = (\dot{F}_a, \dot{F}_b, \dot{F}_c)$ , характеризующий энергетические процессы в ней, ортогонален орту  $\mathbf{e}_0 = (1,1,1)/\sqrt{3}$  нулевой последовательности, так как он удовлетворяет условию

$$\dot{F}_0 = (\mathbf{F}, \mathbf{e}_0) = \mathbf{F}^\top \mathbf{e}_0 = \frac{1}{\sqrt{3}}(\dot{F}_a + \dot{F}_b + \dot{F}_c) = 0. \quad (14)$$

Соответствующий энергетический процесс  $\mathbf{f}(t) = \sqrt{2}\Re[\mathbf{F}e^{j\omega t}]$  не содержит нулевую компоненту (двумерен). Для вектора линейных токов  $\mathbf{I}$  это условие обеспечивается первым законом Кирхгофа. Для 3D- комплекса узловых напряжений условие (14) обеспечивается либо измерением относительно искусственной точки заземления (artificial point [11], см. Рис.2), либо с помощью процедуры  $\tilde{\mathbf{U}} = \mathbf{U} - \dot{U}_0 \mathbf{e}_0$ , где  $\dot{U}_0 = (\dot{U}_a + \dot{U}_b + \dot{U}_c)/3$  [5].

Любой 3D-комплекс удовлетворяющий условию (15), однозначно раскладывается по ортам [15]

$$\mathbf{e}_1 = \frac{1}{\sqrt{3}} \begin{pmatrix} 1 \\ \alpha^* \\ \alpha \end{pmatrix}, \quad \mathbf{e}_2 = \frac{1}{\sqrt{3}} \begin{pmatrix} 1 \\ \alpha \\ \alpha^* \end{pmatrix} \quad (15)$$

прямой и обратной последовательностей ( $\alpha = e^{j2\pi/3}$ ,  $\alpha^2 = \alpha^*$ ,  $\alpha\alpha^* = 1$ ). Таким образом

$$(\mathbf{F}, \mathbf{e}_0) = 0 \quad \Rightarrow \quad \mathbf{F} = \dot{F}_1 \mathbf{e}_1 + \dot{F}_2 \mathbf{e}_2 \quad (16)$$

Так как орты (15) ортогональны и нормированы

$$(\mathbf{e}_k, \mathbf{e}_l) = \mathbf{e}_k^\top (\mathbf{e}_l)^* = \begin{cases} 1, & k=l \\ 0, & k \neq l \end{cases} \quad (k, l = 1, 2),$$

то коэффициенты разложения (16) вычисляются согласно [15]

$$\dot{F}_k = (\mathbf{F}, \mathbf{e}_k) = \mathbf{F}^\top \mathbf{e}_k^* \quad (k=1, 2). \quad (17)$$

Вектор тока (10) в трехпроводном сечении  $\langle a, b, c \rangle$  в точке подключения нагрузки

$$\mathbf{I} = \mathcal{Y}\mathbf{U} = \mathcal{M}\mathcal{Y}_\Delta \mathcal{M}^\top \mathbf{U} \quad (18)$$

рассматриваемой системы однозначно раскладывается по ортам прямой и обратной последовательностей согласно (16)

$$\mathbf{I} = \dot{I}_1 \mathbf{e}_1 + \dot{I}_2 \mathbf{e}_2. \quad (19)$$

Величины прямой и обратной последовательности тока равны скалярному произведению вектора тока и соответствующего орта согласно (17)

$$\dot{I}_1 = (\mathbf{I}, \mathbf{e}_1) = \mathbf{I}^\top \mathbf{e}_1^* = \mathbf{I}^\top \mathbf{e}_2, \quad \dot{I}_2 = (\mathbf{I}, \mathbf{e}_2) = \mathbf{I}^\top \mathbf{e}_2^* = \mathbf{I}^\top \mathbf{e}_1. \quad (20)$$

Через комплексные действующие величины токов в фазах (2) выражаются

как

$$\dot{I}_1 = \frac{1}{\sqrt{3}}(\dot{I}_a + \dot{I}_b \alpha + \dot{I}_c \alpha^*), \quad \dot{I}_2 = \frac{1}{\sqrt{3}}(\dot{I}_a + \dot{I}_b \alpha^* + \dot{I}_c \alpha). \quad (21)$$

Из (18) и (20) следует, что величины тока прямой и обратной последовательности равны

$$\dot{I}_1 = \mathbf{I}^\top \mathbf{e}_2 = (\mathcal{M}\mathcal{Y}_\Delta \mathcal{M}^\top \mathbf{U})^\top \mathbf{e}_2 = \mathbf{U}^\top \mathcal{M}\mathcal{Y}_\Delta \mathcal{M}^\top \mathbf{e}_2, \quad (22)$$

$$\dot{I}_2 = \mathbf{I}^\top \mathbf{e}_1 = (\mathcal{M}\mathcal{Y}_\Delta \mathcal{M}^\top \mathbf{U})^\top \mathbf{e}_1 = \mathbf{U}^\top \mathcal{M}\mathcal{Y}_\Delta \mathcal{M}^\top \mathbf{e}_1. \quad (23)$$

### Симметризация тока и компенсация фазы.

Если напряжение симметрично прямой последовательности

$$\mathbf{U} = \mathbf{U}_1 = \dot{U}_1 \mathbf{e}_1, \quad (24)$$

то из (22)-(23) следует

$$\dot{I}_1 = \dot{U}_1 \mathbf{e}_1^\top \mathcal{M}\mathcal{Y}_\Delta \mathcal{M}^\top \mathbf{e}_2, \quad \dot{I}_2 = \dot{U}_1 \mathbf{e}_1^\top \mathcal{M}\mathcal{Y}_\Delta \mathcal{M}^\top \mathbf{e}_1. \quad (25)$$

Прямыми вычислениями и проверяется, что

$$\mathcal{M}^\top \mathbf{e}_1 = \sqrt{3}e^{j\pi/6} \mathbf{e}_1, \quad \mathcal{M}^\top \mathbf{e}_2 = \sqrt{3}e^{-j\pi/6} \mathbf{e}_2. \quad (26)$$

Это позволяет получить соотношения

$$\dot{I}_1 = \dot{U}_1 (\mathbf{e}_1^\top \mathcal{M}) \mathcal{Y}_\Delta (\mathcal{M}^\top \mathbf{e}_2) = \underbrace{3(\mathbf{e}_1^\top \mathcal{Y}_\Delta \mathbf{e}_2)}_{\dot{Y}_1} \dot{U}_1, \quad (27)$$



$$B_K^{(1)} = \sqrt{3} \mathbf{b}_K^\top \mathbf{e}_0, \quad B_K^{(2)} = e^{j\pi/3} \sqrt{3} \mathbf{b}_K^\top \mathbf{e}_2. \quad (48.в)$$

Подстановка соотношений (48) в систему (46) дает систему уравнения для векторов (47) межфазных проводимостей

$$\begin{cases} \mathbf{b}_K^\top \mathbf{e}_0 = -\mathbf{b}^\top \mathbf{e}_0 \\ \mathbf{b}_K^\top \mathbf{e}_2 = -\mathbf{b}^\top \mathbf{e}_2 + j\mathbf{g}^\top \mathbf{e}_2 \end{cases} \quad (49)$$

Чтобы однозначно определить вектор  $\mathbf{b}_K^\top = (B_{AB}^k \ B_{BC}^k \ B_{CA}^k)$  межфазных проводимостей  $\Delta$  – компенсатора необходимо еще одно уравнение для симметричной составляющей  $\mathbf{b}_K^\top \mathbf{e}_1$ . Так как  $(\mathbf{e}_2)^* = \mathbf{e}_1 = (1 \ \alpha \ \alpha^*)^\top / \sqrt{3}$ , то применяя операцию комплексного сопряжения ко второму уравнению (49), получим

$$\mathbf{b}_K^\top \mathbf{e}_1 = -\mathbf{b}^\top \mathbf{e}_1 - j\mathbf{g}^\top \mathbf{e}_1. \quad (50)$$

Таким образом, имеем систему уравнений для нахождения вектора межфазных проводимостей  $\Delta$  – компенсатора

$$\begin{cases} \mathbf{b}_K^\top \mathbf{e}_0 = -\mathbf{b}^\top \mathbf{e}_0 \\ \mathbf{b}_K^\top \mathbf{e}_2 = -\mathbf{b}^\top \mathbf{e}_2 + j\mathbf{g}^\top \mathbf{e}_2 \\ \mathbf{b}_K^\top \mathbf{e}_1 = -\mathbf{b}^\top \mathbf{e}_1 - j\mathbf{g}^\top \mathbf{e}_1 \end{cases} \quad (51)$$

Систему (51) можно записать в следующем виде

$$\mathbf{b}_K^\top [\mathbf{e}_0 \ \mathbf{e}_2 \ \mathbf{e}_1] = -\mathbf{b}^\top [\mathbf{e}_0 \ \mathbf{e}_2 \ \mathbf{e}_1] + j\mathbf{g}^\top [\mathbf{0} \ \mathbf{e}_2 \ -\mathbf{e}_1]. \quad (52)$$

Здесь

$$[\mathbf{e}_0 \ \mathbf{e}_2 \ \mathbf{e}_1] = \frac{1}{\sqrt{3}} \begin{bmatrix} 1 & 1 & 1 \\ 1 & \alpha & \alpha^* \\ 1 & \alpha^* & \alpha \end{bmatrix} = \mathcal{F} \quad (53)$$

– модифицированная матрица Fortescue [5], которая задает переход от фазовых координат к симметричным. Такая матрица унитарна (множитель существует  $1/\sqrt{3}$ ). Так она симметрична, то обратная матрица равна сопряженной матрице

$$\mathcal{F}^{-1} = \mathcal{F}^* = \frac{1}{\sqrt{3}} \begin{bmatrix} 1 & 1 & 1 \\ 1 & \alpha^* & \alpha \\ 1 & \alpha & \alpha^* \end{bmatrix} \quad (54)$$

Матрица  $\mathcal{F}^{-1} = [\mathbf{e}_0 \ \mathbf{e}_1 \ \mathbf{e}_2]$  определяет обратный переход от симметричных к фазовым координатам. Полученное уравнение (52) справа умножим на обратную матрицу  $\mathcal{F}^{-1}$ . Получим

$$\mathbf{b}_K^\top = -\mathbf{b}^\top + j\mathbf{g}^\top [\mathbf{0} \ \mathbf{e}_2 \ -\mathbf{e}_1] \mathcal{F}^{-1}. \quad (55)$$

Так как

$$[\mathbf{0} \ \mathbf{e}_2 \ -\mathbf{e}_1] = \frac{1}{\sqrt{3}} \begin{bmatrix} 0 & 1 & -1 \\ 0 & \alpha & -\alpha^* \\ 0 & \alpha^* & -\alpha \end{bmatrix}, \quad [\mathbf{0} \ \mathbf{e}_2 \ -\mathbf{e}_1] \mathcal{F}^{-1} = \frac{-j}{\sqrt{3}} \begin{bmatrix} 0 & 1 & -1 \\ -1 & 0 & 1 \\ 1 & -1 & 0 \end{bmatrix}, \quad (56)$$

то имеем

$$\mathbf{b}_K^\top = -\mathbf{b}^\top + \frac{1}{\sqrt{3}} \mathbf{g}^\top \begin{bmatrix} 0 & 1 & -1 \\ -1 & 0 & 1 \\ 1 & -1 & 0 \end{bmatrix}. \quad (57)$$

Транспонируя (57) окончательно получим

$$\mathbf{b}_K = -\mathbf{b} + \frac{1}{\sqrt{3}} \begin{bmatrix} 0 & -1 & 1 \\ 1 & 0 & -1 \\ -1 & 1 & 0 \end{bmatrix} \mathbf{g}. \quad (58)$$

В явном виде для реактивных проводимостей  $\Delta$ –КУ имеем

$$\begin{pmatrix} B_{AB}^k \\ B_{BC}^k \\ B_{CA}^k \end{pmatrix} = - \begin{pmatrix} B_{AB} \\ B_{BC} \\ B_{CA} \end{pmatrix} + \frac{1}{\sqrt{3}} \begin{pmatrix} G_{CA} - G_{BC} \\ G_{AB} - G_{CA} \\ G_{BC} - G_{AB} \end{pmatrix}. \quad (59)$$

$\begin{matrix} \epsilon\iota\ \iota\ \alpha\eta\alpha\delta\epsilon\gamma \\ \delta\alpha\delta\delta\ \epsilon\alpha\ \iota\ \delta \\ \gamma\epsilon\alpha\ \alpha\ \iota\ \delta \end{matrix}$ 
 $\begin{matrix} \epsilon\iota\ \iota\ \alpha\eta\alpha\delta\epsilon\gamma\ \delta\epsilon\iota\ \iota\ \delta\delta\ \delta\delta\epsilon \\ \delta\epsilon\delta\ \epsilon\alpha\ \iota\ \delta\ \gamma\epsilon\alpha\ \alpha\ \iota\ \delta \\ \iota\ \delta\delta\delta\delta\epsilon\delta\epsilon \end{matrix}$

Таким образом, даже если нагрузка имеет индуктивный характер, для компенсации несимметрии активных элементов потребуются реакторы.

В частности для схемы Steinmetz получим

$$\begin{pmatrix} B_{AB}^k \\ B_{BC}^k \\ B_{CA}^k \end{pmatrix} = - \begin{pmatrix} 0 \\ 0 \\ 0 \end{pmatrix} + \frac{1}{\sqrt{3}} \begin{pmatrix} 0 \\ G_{AB} \\ -G_{AB} \end{pmatrix}$$

$\begin{matrix} \epsilon\acute{\iota}\ \iota\ \acute{\alpha}\eta\alpha\acute{\alpha}\delta\epsilon\acute{\gamma} \\ \delta\alpha\acute{\alpha}\epsilon\theta\ \epsilon\acute{\alpha}\acute{\iota}\ \acute{\iota}\ \delta \\ \acute{\gamma}\epsilon\acute{\alpha}\iota\ \acute{\alpha}\iota\ \acute{\omicron}\ \acute{\iota}\ \acute{\alpha} \end{matrix}$ 
 $\begin{matrix} \epsilon\acute{\iota}\ \iota\ \acute{\alpha}\eta\alpha\acute{\alpha}\delta\epsilon\acute{\gamma}\ \acute{\alpha}\eta\epsilon\acute{\iota}\ \iota\ \delta\acute{\omicron}\ \delta\epsilon\epsilon \\ \acute{\alpha}\epsilon\theta\ \epsilon\acute{\alpha}\acute{\iota}\ \acute{\iota}\ \delta\acute{\gamma}\epsilon\acute{\alpha}\iota\ \acute{\alpha}\iota\ \acute{\omicron}\ \acute{\iota}\ \acute{\alpha} \\ \acute{\iota}\ \acute{\alpha}\delta\delta\omicron\zeta\epsilon\epsilon \end{matrix}$

В компактном виде формулу (59) можно представить в векторном виде

$$\mathbf{b}_k = -\mathbf{b} + \mathbf{e}_0 \times \mathbf{g} \quad (60)$$

$\mathbf{e}_0 \times \mathbf{g}$  -векторное произведение векторов  $\mathbf{e}_0$  и  $\mathbf{g}$ . Полученные формула (59) или (60) пригодна для расчета реактивных элементов  $\Delta$ -компенсатора, обеспечивающего единичный коэффициент мощности при присоединение к сети с симметричным напряжением произвольной несимметричной  $\Delta$ -нагрузки.

#### Числовое моделирование.

В рассматриваемых ниже примерах все величины приведены в относительных единицах  $|U|=1$ . Моделирование проводилось в среде MatCad. Напряжение в сечении  $\langle a, b, \tilde{n} \rangle$  симметрично.  $\Delta$  – нагрузка задана межфазными проводимостями  $\dot{Y}_{AB}, \dot{Y}_{BC}, \dot{Y}_{CA}$  (Таблица 1).

Таблица 1 - Параметры  $\Delta$  – нагрузки

№ Примера	$\dot{Y}_{AB}$	$\dot{Y}_{BC}$	$\dot{Y}_{CA}$
а	1	0	0
б	$1 - j4$	0	0
в	$0.2 - j0.1$	$0.7 - j0.3$	$0.1 - j0.2$

Во всех трех примерах нагрузка выбрана так, что обеспечивается передача энергии с одинаковой активной мощностью  $P = 1.0$  о.е. Межфазные реактивные проводимости  $B_{AB}^k, B_{BC}^k, B_{CA}^k$   $\Delta$  – компенсатора, рассчитанные согласно (59), приведены в Табл.2. Параметры режимов сведены в Табл. 3.

Таблица 2 - Параметры  $\Delta$  – компенсатора

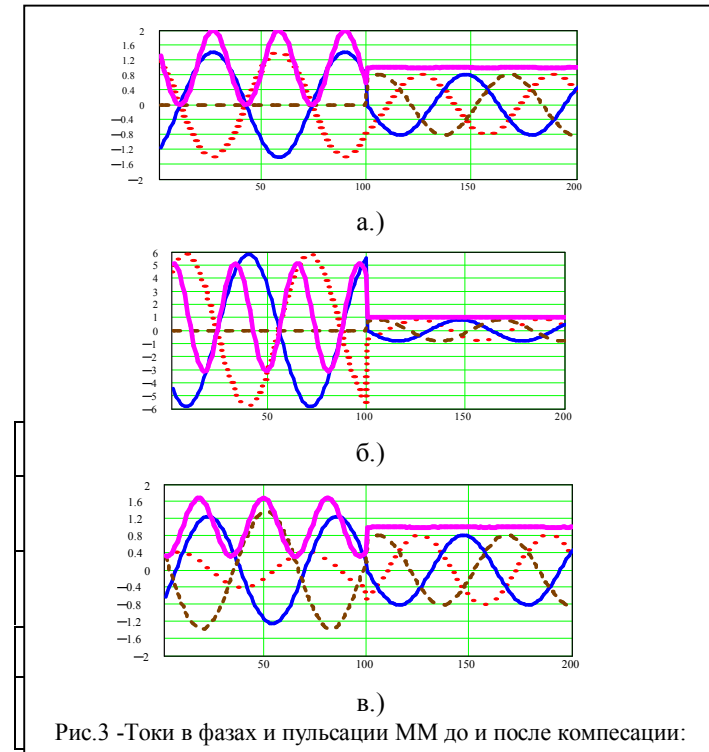
№ Примера	$jB_{AB}^k$	$jB_{BC}^k$	$jB_{CA}^k$
а	0	$j0.577$	$-j0.577$
б	$j4$	$j0.577$	$-j0.577$
в	$-j0.246$	$j0.358$	$j0.489$

Таблица 3. -Результаты моделирования

№	До компенсации			После компенсации	
	$\lambda_p$	$ I ^2$	$\dot{N}$	$ I_a ^2$	$\dot{N}_a$
а	0.731	2	1	1	0
б	0.177	34	4.123	1	0
в	0.741	1.821	0.678	1	0

Здесь  $N$  и  $N_a$  -комплексная амплитуда мощности пульсаций (переменной составляющей двойной частоты мгновенной мощности) полного тока до и после компенсации [5]. На Рис.3 приведены результаты моделирования.

- а) Одноплечевая активная нагрузка до симметризации имеет КМ  $\lambda_p = 0.707$  ..  
 б) Одноплечевая нагрузка (индуктор), включена между фазами А и В .



Коэффициент мощности индуктора  $\cos \varphi_{AB} = G_{AB} / \sqrt{G_{AB}^2 + B_{AB}^2} = 0.243$ .  
(Коэффициент мощности подключаемой схемы как трехфазной нагрузки, вычисленный согласно (14)  $\lambda_p = 0.177$ .) в) Три однофазные активно-индуктивные нагрузки ( $\cos \varphi_{AB} = 0.894$ ,  $\cos \varphi_{BC} = 0.919$ ,  $\cos \varphi_{AC} = 0.447$ ) включены в три плеча и образуют неуравновешенную трехфазную нагрузку.

Заключение. Предлагаемый  $\Delta$ -компенсатор позволяет: 1) полностью устранить пульсации ММ  $\dot{N}_a = 0$  и дополнительные потери от неактивного тока  $I_F = 0$ ; 2) сделать коэффициент мощности равным единице  $\lambda_p = 1$ ; 3) полные потери на 1 Ом уменьшить в  $|I|^2 / |I_{aF}|^2$  раз. Установка таких КУ позволит потребителю не платить за неактивную (реактивную + небаланса) мощность и избежать дополнительных потерь в сети поставщика. Более того, улучшив качество своего потребления, потребитель вполне обосновано может выдвигать требования к улучшению качества поставки.

**Список литературы:** 1. Шидловский А. К. Повышение качества энергии в электрических сетях / А. К. Шидловский, В. Г. Кузнецов.- Киев: Наукова думка, 1985 2. Fryze S. Active, reactive and apparent power in circuits with nonsinusoidal voltage and current / S. Fryze // Przegląd Elektrotechniczny.- 1931. - No. 7-8. 3. Милых А.Н, Схемы симметрирования однофазных нагрузок в трехфазных цепях / А.Н.Милых, А.К.Шидловский, А.Г.Кузнецов.- Киев: Наукова думка, 1973 4. Hanzelka Z. Mitigation of voltage unbalance. - [Электронный ресурс]. - Режим доступа: <http://www.leonardo-energy.org/chapter-5-mitigation-voltage-unbalance> 5. Сиротин Ю. А. Качество энергоснабжения и энергопотребления в разбалансированной трехфазной системе / Ю.А. Сиротин // Электрика. - 2009. - №6. - С. 22-27; 2009. - №7. С. 15-21. - [Электронный ресурс]. - Режим доступа: <http://www.nait.ru/journals> 6. Steinmetz C. P. Lectures on Electrical Engineering. New York: Dover, 1897. 7. Sainz L., Pedra J., Caro M. Steinmetz circuit influence on the electric system harmonic response / L.Sainz, J.Pedra, M. Caro // IEEE Trans. Pow. Deliv. - 2005. - Vol. 20. - No. 2. - P.1143- 1150 8. Todeschini G. A Poynting Vector Approach to the Study of the Steinmetz Compensator / G. Todeschini, A. E. Emanuel, A. Ferrero, A. P. Morando A Poynting // IEEE Trans. Pow. Deliv. - 2007. - Vol. 22. - No. 3. - P. 1830- 1830 9. Czamecki L. S. Reactive and unbalanced currents compensation in three-phase asymmetrical circuits under nonsinusoidal conditions / L. S. Czamecki // IEEE Trans. Instrum. Meas. - 1989. - Vol. 38. - No 3. - P. 754-759/ 10. Czamecki L. S. Adaptive Balancing Compensator / L. S. Czamecki, M. H. Shih, G. Chen // IEEE Trans. Pow. Deliv. Vol. - 1995/10/ - No. 3. - P. 1663-1669. 11. Czarnecki L. S. Powers of asymmetrically supplied loads in terms of the CPC power theory / L. S. Czarnecki // Electrical Power Quality and Utilization Journal. - 2007. -Vol. XIII. - No. 1. - P. 97-103. - [Электронный ресурс]. - Режим доступа: <http://www.lsczar.info/papers.htm> 12. Сиротин Ю. А. Сбалансированная и разбалансированная составляющие трёхфазного тока интерфейса "поставщик-потребитель" / Сиротин Ю. А. // Электрика. - 2008. - № 10. - С. 16-22. - [Электронный ресурс]. - Режим доступа: <http://www.kudrinbi.ru> 13. Сиротин Ю. А. Уравнение мощности и штрафные санкции за асимметричную нагрузку / Ю. А. Сиротин // Эффективность и качество электроснабжения промышленных предприятий. VI МНТК. EPQ-2008: Сб. трудов. Мариуполь: Изд. ПГТУ, 2008. 14. Buchholz F. Die Drehstrom-Scheinleistung bei ungleich-mepiger Belastung drei Zweige / F. Buchholz // Licht und Kraft. - 1922. -№о. 2. - P. 9-11, 15. Сиротин Ю. А. Мощность разбаланса и пульсации мгновенной мощности при симметричном напряжении / Ю. А. Сиротин // Электрика. - 2009.- № 11. - С. 22-27. - [Электронный ресурс]. - Режим доступа: <http://www.nait.ru/journals>

Поступила в редколлегию 03.09.2010